

PF7) 질소-산소 계 네 자리 리간드와 Co(II), Ni(II), Cu(II), Zn(II), Pb(II), Cd(II) 촉물의 안정도상수 결정 및 치환기 효과

김선덕, 이도협\*

대구대학교 자연과학대학 화학·응용화학과

### 1. 서 론

산소-질소( $N_xO_y$ )계 리간드는 폐놀성 수산기, 이민기 및 아민 기를 가지고 있어 이온결합과 배위결합을 통하여 전이금속(II) 이온들과 촉물을 잘 생성한다. 지금까지 산소-질소계 리간드와 전이금속 이온들의 특성에 관한 지금까지 연구의 예로  $N_3O_3$  와  $N_6$ 계 시프염기를 환원제  $NaBH_4$ 를 이용하여 이민기를 환원시켜 여섯 자리  $N_3O_3$  와  $N_6$ 계 리간드 합성하여 전위차 적정법으로 양성자 해리상수와 Co(II), Ni(II), Cu(II) 및 Zn(II) 이온들과의 촉물 안정도상수 값을 구하여 보고<sup>1</sup>되었고, 또한 네 자리  $N_2O_2$ 계 리간드, 다섯 자리  $N_3O_2$ 계, 여섯 자리  $N_4O_2$ 계 및 일곱 자리  $N_5O_2$ 계를 합성하여 리간드의 양성자 해리상수와 Co(II), Ni(II), Cu(II) 및 Zn(II) 이온과의 촉물 안정도상수를 전위차 적정 법으로 구하여 주개원자 수의 증가에 따른 고리길이 효과가 촉물의 안정도상수 값에 미치는 영향에 대하여 연구하였다.<sup>2</sup> Yang 등<sup>3</sup>은 tetren(triethylentetraamine)에 3당량의 살리실 알데히드를 반응시켜  $N_4O_3$ 계 일곱 자리 리간드를 합성하여 Gd(III), In(III), La(III) 및 Y(III) 금속 촉물의 화학구조를 연구하였다. 같은 방법으로 여섯 자리  $N_4O_2$ 계 리간드를 합성하여 Fe(III), Ga(III), 및 In(III) 금속 촉물의 화학구조를 연구한 예도 있다<sup>4,5</sup>. 이와 같은 시프염기 리간드의 이민기를 환원시켜 새로운 산소-질소계 리간드를 합성하여 전이금속(II) 촉물에 대한 연구는 많이 있으나 새로운  $N_2O_2$ 계 네 자리 리간드들의 치환기가 양성자 해리상수 및 촉물의 안정도상수 값에 미치는 치환기 효과를 연구한 결과는 별로 없다.

본 연구에서는 salen형태의 새로운 산소-질소( $N_2O_2$ )계 네 자리 시프염기 리간드  $N,N'$ -bis(5-X-2-hydroxybenzyl)-ethylenediamine과 전이금속 촉물 안정도상수에 대한 치환기 효과의 연구<sup>6</sup>와 비교 검토하기 위하여 고리길이가 에틸기 대신에 벤젠링을 포함하는  $N,N'$ -bis-(salicyaldehyde)-o-pheylenediamine 를 합성하고,  $NaBH_4$ 를 사용하여 시프염기의 이민기를 환원시켜 새로운 산소-질소( $N_2O_2$ )계 네 자리 리간드 1,2-Bis(2-amino-methyl-phenol)-benzene ( $H\text{-BAB} \cdot 2HCl$ )의 염산염을 합성하였다. 또한 치환기를 가진 Br-BAB · 2HCl, Cl-BAB · 2HCl,  $CH_3$ -BAB · 2HCl,  $CH_3O$ -BAB · 2HCl 및 Nap-BAB · 2HCl를 합성하였다. 합성된 산소-질소계 새로운 네 자리 리간드들의 양성자 단계해리상수 ( $\log K_n^H$ ) 와 Co(II), Ni(II), Cu(II), Zn(II), Cd(II) 및 Pb(II) 이온과의 촉물 안정도상수 ( $\log K_{ML}$ ) 값은 전위차 적정 법으로 적정하여 변화되는 pH값을 이용하여 계산하였다. 이때 계산된 리간드의 양성자 해리상수 값과 전이금속(II) 이온과의 촉물의 안정도상수 값 그리

고 합성된 각 리간드의 폐놀기 C-O의  $^{13}\text{C}$ -NMR의 화학적 이동 값이 치환기 종류에 따라 서로 어떤 관계를 가지는가를 검토하였다.

## 2. 실험

### 2.1. 산소-질소( $\text{N}_2\text{O}_2$ )계 네 자리 리간드 합성

시프염기 N,N'-bis(salicyaldehyde)-o-pheylenediamine의 합성은 메탄올 100ml에 orth-pheylenediamine(0.2M, 2.16g)를 녹이고 반응온도를 60°C로 유지하여 교반하면서 salicyl-aldehyde(0.4M, 2.0mL)를 서서히 적은 방울로 가하면 반응물은 노란색을 띤다. 노란색 생성물을 계속 4시간동안 교반 반응시킨 후 반응용액을 냉장고에 보관 방치하면 노란색 결정의 salen이 합성된다. 치환기를 가진 다른 시프염기의 합성은 N,N'-bis(salicyaldehyde)-o-pheylene-diamine의 합성과 같이 orth-pheylenediamine(0.2M, 2.16g)에 5-chlorosalicylaldehyde(0.4M, 3.1g), 5-bromo-salicylaldehyde (0.4M, 4.0g), 2-hydroxy-5-methyl-benzaldehyde(0.4M, 2.7g), 2-hydroxy-5-methoxy-benzaldehyde(0.4M, 2.5mL) 및 2-hydroxy-1-naphth-aldehyde (0.4M, 3.4g)를 각각 반응시켜 합성한다. 합성된 각 시프염기 리간드를  $\text{NaBH}_4$ 로 환원시킨다. 환원된 용액에 진한 HCl를 가하여 흰색 침전물 H-BAB · 2HCl를 얻는다. 또한 치환기를 가진 Br-BAB · 2HCl, Cl-BAB · 2HCl,  $\text{CH}_3$ -BAB · 2HCl,  $\text{CH}_3\text{O}$ -BAB · 2HCl 및 Nap-BAB · 2HCl의 합성은 H-BAB · 2HCl와 같이  $\text{NaBH}_4$ 를 사용하여 이민기를 이차 아민기로 환원 시켜 합성하였다.

### 2.2. 전위차 적정 법을 이용한 리간드의 양성자 해리상수 결정

리간드의 양성자 해리상수 값을 얻기 위한 실험은 합성된 리간드 H-BAB · 2HCl, Br-BAB · 2HCl, Cl-BAB · 2HCl,  $\text{CH}_3$ -BAB · 2HCl,  $\text{CH}_3\text{O}$ -BAB · 2HCl 및 Nap-BAB · 2HCl를 각각 수용액에 녹여  $5.0 \times 10^{-3}\text{M}$ 이 되도록 만들어 0.1 M KOH 수용액으로 전위차 법으로 적정하여 적정 중 변화되는 pH값을 측정하였다. 이때 적정용액의 이온세기( $\mu$ )는 0.1M  $\text{KNO}_3$ 로 0.1이 되게 하였다. 적정용액 내부에 존재하는  $\text{O}_2$ 와  $\text{CO}_2$ 의 영향을 줄이기 위해 질소기류를 통과시켜 적정하였고, 양성자 해리상수 값 계산에 이용되는 물의 이온곱 ( $\text{Kw}$ )은  $10^{-13.78}$  값을 사용하였다.<sup>7</sup> 각 리간드의 양성자 해리상수 값은 적정 중 측정된 pH값을 이용하여 Fortran 77로 만들어진 PKAS 프로그램을 사용하여 계산하였다.<sup>8</sup>

### 2.3. 전위차 적정 법을 이용한 전이금속 착물의 안정도상수 결정

합성된 각 리간드와 Co(II), Ni(II), Cu(II), Zn(II), Cd(II) 및 Pb(II) 염을 각각 수용액에 녹여  $5.0 \times 10^{-3}\text{M}$ 이 되도록 만들어 0.1 M KOH 용액으로 전위차 법으로 적정하여 변화되는 pH값을 측정하였다. 착물의 안정도상수 값은 리간드 농도(mole)와 부피(mL), KOH의 농도 (mole)와 소모 부피(mL), 용액의 초기 부피(mL), 양성자의 해리단계 수, 용매 물의  $\text{pKw}$  값 및 적가 된 KOH 부피(mL)에 따른 pH변화 값을 기본 값으로 사용하여 BEST 프로그램으로 계산하였다.<sup>7</sup>

### 3. 결과 및 고찰

#### 3.1. 산소-질소( $N_2O_2$ )계 네 자리 리간드 합성

염산염 형태로 합성된 새로운 산소-질소( $N_2O_2$ )계 네 자리 리간드 Br-BAB, Cl-BAB, H-BAB, Nap-BAB,  $CH_3$ -BAB 및  $CH_3O$ -BAB 의 C, H, N 원소분석 결과는 실험치와 계산치가 잘 일치하였다. 적외선 흡수스펙트럼의 결과는  $1640\text{cm}^{-1}$ 근처에서 나타나는 시프염기 이민기의 흡수봉우리는 이민기가 환원되어 이차 아민기가 생성되므로 나타나지 않았다.  $^1\text{H}$  NMR 과  $^{13}\text{C}$  NMR 스펙트럼 결과도 벤젠기의 메틸기의 수소와 탄소의 봉우리가 전형적으로 나타났고, 질량스펙트럼의 결과도 합성된 각 리간드의 분자이온( $M^+$ ) 봉우리와 분자의 특징을 나타내는 기준 및 분절봉우리가 나타났다.

위에서 고찰한 자외선 및 적외선 흡수분광법,  $^1\text{H}$  NMR 및  $^{13}\text{C}$  NMR 분광법, 질량분석법 및 C, H, N 원소분석법의 결과를 통하여 H-BAB · 2HCl, Br-BAB · 2HCl, Cl-BAB · 2HCl,  $CH_3$ -BAB · 2HCl,  $CH_3O$ -BAB · 2HCl 및 Nap-BAB · 2HCl의 합성을 확인할 수 있었다.

#### 3.2. 전위차 적정 법을 이용한 리간드의 양성자 해리상수 결정

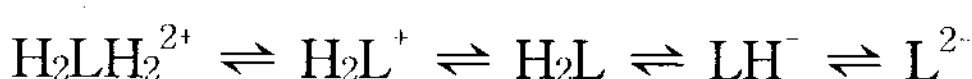
합성한 각 리간드의 양성자 단계해리상수( $\log K_n^H$ ) 값은 각 리간드 수용액을 0.1M KOH 염기 표준용액으로 전위차 적정할 때 변화되는 pH값을 이용하여 PKAS 프로그램으로 계산하여 Table 1에 나타내었다.

Table 1. Proton dissociation constants for H-BAB · 2HCl, Br-BAB · 2HCl, Cl-BAB · 2HCl,  $CH_3$ -BAB · 2HCl,  $CH_3O$ -BAB · 2HCl 및 Nap-BAB · 2HCl in water at  $25^\circ\text{C}$  and  $\mu=0.1(\text{KNO}_3)$

Compound	$\log K_1^H$	$\log K_2^H$	$\log K_3^H$	$\log K_4^H$	$\log \beta_p$
Br-BAB	3.71	4.15	9.78	10.97	28.61
Cl-BAB	4.15	4.77	10.17	11.52	30.61
H-BAB	4.77	5.15	10.33	11.75	32.00
Nap-BAB	4.89	5.52	10.58	11.78	32.77
$CH_3O$ -BAB	4.99	5.77	10.87	11.84	33.47
$CH_3$ -BAB	5.01	5.98	11.05	11.99	34.03

\* Calculated by Fortran program PKAS

Table 1의 결과에서와 같이 양성자 단계해리반응은 4단계로 일어남을 알 수 있다. 이때 합성된 각 리간드는 2개의 폐놀성 수산기와 2개의 이차 아민에 각각 HCl의 염산염 형태로 첨가되어 있는 상태이므로  $H_2LH_2^{2+}$ 로 표시할 수 있다.



이때 양성자 단계 해리반응을 고찰하여 보면 이차 아민 기에 첨가되었던 2개의 양성자가 먼저 해리되고, 다음으로 폐놀성 수산기의 2개 양성자 해리가 각각 일어나 위와 같이 4 단계 해리반응이 일어날 것이다.

### 3.3. 전위차 적정 법을 이용한 전이금속 착물의 안정도상수 결정

Table 2. Stability constants for Co(II), Ni(II), Cu(II), Zn(II), Pb(II), Cd(II) complexes of BAB ligands in water at 25°C and  $\mu=0.1$ (KNO<sub>3</sub>)

Metal ion	Ligand	Br-BAB	Cl-BAB	H-BAB	Nap-BAB	CH <sub>3</sub> O-BAB	CH <sub>3</sub> -BAB
Cu(II)	logK <sub>MLH</sub>	8.36	8.53	10.61	11.15	11.45	11.55
	logK <sub>ML</sub>	13.59	13.97	15.59	15.26	16.35	16.38
	logβ <sub>s</sub>	21.95	22.50	26.20	26.41	27.80	27.93
Ni(II)	logK <sub>MLH</sub>	7.81	8.25	8.88	9.26	10.12	10.41
	logK <sub>ML</sub>	13.03	13.88	14.58	14.88	15.16	15.38
	logβ <sub>s</sub>	20.84	22.13	23.46	24.14	25.28	25.79
Co(II)	logK <sub>MLH</sub>	6.75	7.36	8.78	9.08	10.04	10.38
	logK <sub>ML</sub>	12.55	13.31	13.48	14.13	14.54	15.26
	logβ <sub>s</sub>	19.30	20.67	22.26	23.21	24.58	25.64
Zn(II)	logK <sub>MLH</sub>	6.48	6.82	8.63	8.81	10.13	10.70
	logK <sub>ML</sub>	11.71	12.98	13.48	13.73	14.51	15.40
	logβ <sub>s</sub>	18.19	19.80	22.11	22.54	24.64	26.10
Pb(II)	logK <sub>MLH</sub>	6.63	6.89	8.31	8.41	9.91	10.28
	logK <sub>ML</sub>	11.63	12.78	13.39	13.62	13.89	14.69
	logβ	18.26	19.67	21.70	22.03	23.80	24.97
Cd(II)	logK <sub>MLH</sub>	6.59	7.51	7.88	9.20	9.90	10.41
	logK <sub>ML</sub>	11.49	12.59	13.08	13.29	13.73	14.59
	logβ <sub>s</sub>	18.08	20.10	20.96	22.49	23.63	25.00

\* Calculated by Fortran program BEST<sup>7</sup>

Table 2에는 Co(II), Ni(II), Cu(II), Zn(II), Cd(II) 및 Pb(II)이온과 합성된 리간드의 각 혼합물을 KOH로 전위차 적정할 때 변화되는 pH값을 이용하여 BEST 프로그램으로 착물 안정도상수(logK<sub>MLH</sub> 및 logK<sub>ML</sub>) 값을 계산하여 수록하였다. Table 2의 결과와 같이 전이금속 이온들의 착물 안정도상수(logK<sub>ML</sub>)는 Co(II) < Ni(II) < Cu(II) > Zn(II) > Pb(II) > Cd(II)의 순서로 나타났다. 일반적으로 전이금속 착물의 안정도상수의 크기는 금속이온의 전하밀도가 클수록 또는 금속이온의 크기가 작을수록 커지므로 착물의 안정도상수 값은 Irving-Williams 계열의 순서와 잘 일치하였다.

또한 Table 2의 결과에서 합성된 각 리간드와 전이금속이온 사이의 총괄 착물 안정도상수(logβ<sub>s</sub>) 값의 크기순서는 Br-BAB < Cl-BAB < H-BAB < Nap-BAB < CH<sub>3</sub>O-BAB < CH<sub>3</sub>-BAB로 나타났다.

결과에서 전이금속 착물의 안정도상수(logK<sub>ML</sub>) 값은 치환기들의 종류 및 위치에 따라 크게 영향을 받는 것을 알 수 있었다. 이때 각 착물 안정도상수(logK<sub>ML</sub>) 값은 리간드의 양성

자 해리상수 값을 이용하여 계산하기 때문에 총괄 양성자 해리상수 값이 가장 큰 CH<sub>3</sub>-BAB 와 CH<sub>3</sub>O-BAB가 가장 큰 값으로 나타났다. 그 이유는 음의 Hammett 치환기 상수( $\sigma_p$ ) 값을 나타내는 CH<sub>3</sub>-BAB와 CH<sub>3</sub>O-BAB의 메톡시기와 메틸기는 전자를 밀어 주어 폐놀성 수산 기의 산소에 전자밀도가 증가하게 하여 염기도를 증가시켜 전이금속 이온들과 촉물을 잘 생성하는 것으로 생각된다.

### 참 고 문 헌

1. H. K. Lin, X. Wang, X. C. Su, S. R. Zhu and Y. T. Chen, 2002. Synthesis and thermodynamic properties of novel tripod ligands and their cobalt(II), nikel(II), copper(II) and zinc(II) complex Trans. Met. Chem., 27, 384-389.
2. S. D. Kim, K. H. Jang and J. K. Kim, 1998. Syntheses of New Nitrogen-Oxygen Multidentate Ligands and Their Stability Constants of Transition Metal(II) Ions J. Kor. Chem. Soc., 42(5), 539-548.
3. L. W. Yang, S. Liu, S. Weng, S. Rettig and C. Orvig, 1995. Complexes of Trivalent Metal Ions with Potentially Heptadentate N<sub>4</sub>O<sub>3</sub> Schiff Base and Amine Phenol Ligands of Varying Rigidity, Inorg. Chem., 34, 2164-2178.
4. E. Wong, S. Lin, T. Lugger, F. E. Hahn and C. Orvig, 1995. Hexadentate N<sub>4</sub>O<sub>2</sub> Amine Phenol Complexes of Gallium and Indium, Inorg. Chem., 34, 93-101.
5. C. J. Bannochi and A. E. Martell, 1991. Synthesis, Separation, and Equilibrium Characterization of Racemic and Meso Forms of a New Multidentate Ligand: N,N'-Trimethylenebis[2-(2-hydroxy-3,5-dimethylphenyl)glycine], TMPHPG, Inorg.Chem., 30, 1385-1392.
6. S. D. Kim and G. R. Jin, 2006. Synthesis of new N<sub>2</sub>O<sub>2</sub> tetradeятate ligand and the substituent effect on the stability constants of the transition metal complex, Anal. Scie & Tech., 19(2), 131-141.
7. R. J. Motekaitis and A. E. Martell, 1992. Stabilities of metal complexes of the meso and ss isomers of oxylsuccinic acid, Inorg. Chem., 31, 11-15.
8. A. E. Martell and R. J. Motekaitis, 1992. 'Determination and Use of Stability Constant', 2nd Ed. VCH, N. Y.